

## SILE MOBILNIH ORTODONTSKIH NAPRAVA EVALUIRANE SENZORIMA VLASTITE KONSTRUKCIJE

Mladen Šlaj\*, Željko Goja\*\*, Vladimir Lapter\*

Zavod za ortodonciju Stomatološkog fakulteta\* i

Zavod za mehaničke konstrukcije Fakulteta strojarstva i brodogradnje\*\*

Sveučilišta u Zagrebu

Primljeno: 17. 1. 1989.

### Sažetak

U uvodnim izlaganjima istaknuti su najvažniji biomehanički principi bitni za podzeto istraživanje, te uvjeti koje mora zadovoljavati uredaj za intraoralno mjerjenje ortodontskih sila. Nakon postavljanja cilja istraživanja, provedeno je istraživanje nekih svojstava akrilata od kojeg se naprave izrađuju. Slijedi utvrđivanje tipova tenozmetara, vrste ljepila i konfiguracije mjerjenja te odabir mjernih pojačala i pisača. Opisani su pojedini mjereni senzori, njihov princip rada i prikladnost ovisno o vrsti naprave. Uredaj za baždarenje modificiran je prema vlastitim potrebama, a rezultati baždarenja su obrađeni na računaru programom linearne regresije, te su pokazali linearno ponašanje svih konstruiranih senzora što omogućuje njihovu uspješnu primjenu i olakšava interpretaciju rezultata.

**Ključne riječi:** ortodontske sile, mjerni senzori

### UVOD

Biomehanički pristup omogućuje bolje razumijevanje sistema sila kojima djeluju ortodontske naprave, što može rezultirati poboljšanjem njihova djelovanja (1).

Krajnji cilj aplikacije ortodontske sile je pomak zuba ili neke druge strukture u orofacialnoj regiji (2 — 4.).

Pomak zuba uvelike ovisi, osim o smjeru i hvatištu sile, te sidrištu naprave i o njenoj veličini. Mnoga dosadašnja istraživanja histoloških promjena orofacialne regije utvrdila su optimalne sile za pojedine pomačke, ali su rezultati istraživanja često i kontradiktorni (5 — 16.).

Sile koje nastaju djelovanjem fiksnih ortodontskih naprava relativno je lako izmjeriti, osobito u prvoj fazi terapije, (1) a i sile koje nastaju djelovanjem funkcionalnih naprava aktivatora i bionatora također su relativno dobro poznate (14, 17. — 20.).

Podaci o mjerjenjima sile koje proizvode aktivne mobilne naprave, tj. aktivna ploča u brojnim modifikacijama, su vrlo oskudni. Od njih treba izdvojiti rad Witta 1966. (21), koji mjeri sile nastale djelovanjem aktivne ploče s ekstenzorom za protruziju dva gornja centralna inciziva.

Poseban problem u ovoj vrsti istraživanja je izbor metode za mjerjenje sile. Sila se najčešće određuje posredno, preko drugih fizikalnih veličina, kao što su deformacije i naprezanja prethodnim baždarenjem poznatim silama ili pak matematičkim kalkulacijama (22 — 26.).

Smatra se (27, 28), da uredaj za mjerjenje sile mora ispunjavati nekoliko osnovnih uvjeta:

- da omogućava statička i dinamička mjerjenja,
- da bude što manji i fleksibilniji, te da ne ometa funkciju,
- da nema djelovanja nakon prestanka doziranja sile,
- da nije osjetljiv na promjene temperature,
- da dopušta mjerjenje od 0,01 N do više desetaka N,
- da je višekratno upotrebljiv.

Sve navedene uvjete može ispunjavati apliciran elektrootpornički tenzometar (strain gauge), pa je zato u istraživačkom pristupu izabran za provođenje eksperimentalnog dijela istraživanja.

Princip rada elektrootporničkih tenzometara bazira se na činjenici da se električni otpor vodiča mijenja kada se on izdužuje.

Godine 1938. Simmons i Ruge, (29), neovisno jedan od drugoga usavršavaju ovu ideju i izrađuju prve elektrootporničke tenzometre, različito tehnički izvedene, ali u biti po istom načelu. Obojica su koristili žicu kao vodič naljepljenu na čelik odnosno papir. Žičani elektrootpornički tenzometri se i danas koriste, ali je svoj pravi razvoj tenzometar dosegao napretkom elektronike i pronalaskom postupka tiskanih krugova. To je omogućilo izradu tenzometra od metalne folije, a uvođenje raznih mjernih pojačala i instrumenata omogućilo je veću preciznost i mnogo jednostavniji postupak.

Na temelju uvodnih izlaganja postavljen je cilj istraživanja:

- utvrditi pogodnost elektrootporničkih tenzometara kao sredstva za registraciju sile kojima djeluju aktivne mobilne ortodontske naprave;
- konstruirati razne tipove davača za intraoralna mjerjenja sile;
- ustanoviti prikladnost pojedinih tipova tenzometara ugrađenih u davače, s obzirom na raspoloživost prostora, agresivnost uvjeta u usnoj šupljini i moguće temperaturne promjene u toku provođenja mjerjenja;
- riješiti sistem baždarenja, da se omogući direktno očitavanje rezultata i izbjegnu ponovljene matematičke kalkulacije za svako mjerjenje.

## KONSTRUKCIJA SENZORA

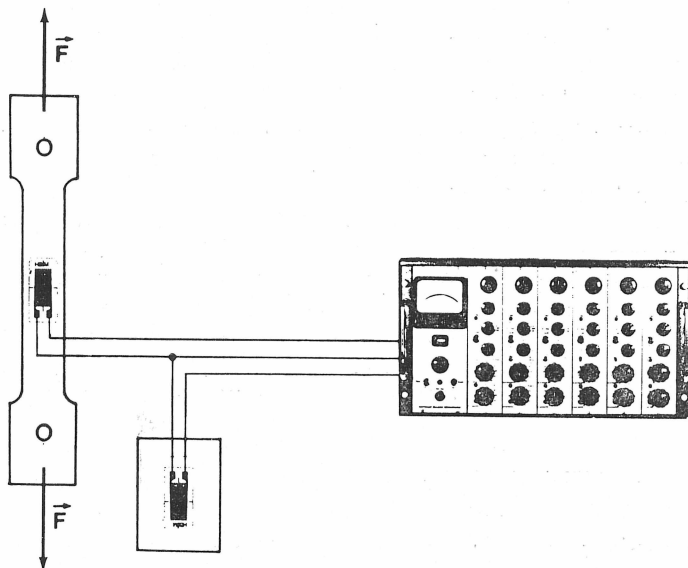
Ugradnja senzora na principu elektootporničkih tenzometara u ortodontske naprave, odnosno konstrukcija senzora, zahtijevali su prethodno poznavanje nekih svojstava akrilata, od kojeg se naprave izrađuju. Bilo je potrebno utvrditi mogućnost ugradnje tenzometara direktno na akrilat i njihovo ponašanje u tim uvjetima, vrstu ljepila kojim se može ljestviti na akrilat, te stabilnost takvog mjernog sistema.

Zbog specifičnosti materijala trebalo je riješiti eventualne probleme temperaturne kompenzacije Wheatstonovog mosta, na kojem su bazirana mjerna pojačala.

Tenzometri se najčešće proizvode za aplikaciju na metale, i nisu dovoljno malih dimenzija za istraživanje ove vrste.

Izrađene su epruvete za ispitivanja od istog akrilata kakav se često koristi za izradu mobilnih naprava (Ortopoli-Polident) a od kojeg su kasnije izrađene naprave za eksperimente.

Nakon ispitivanja nekoliko vrsta ljepila izabrano je Z-70-HBM, koje je pokazalo najbolja svojstva.



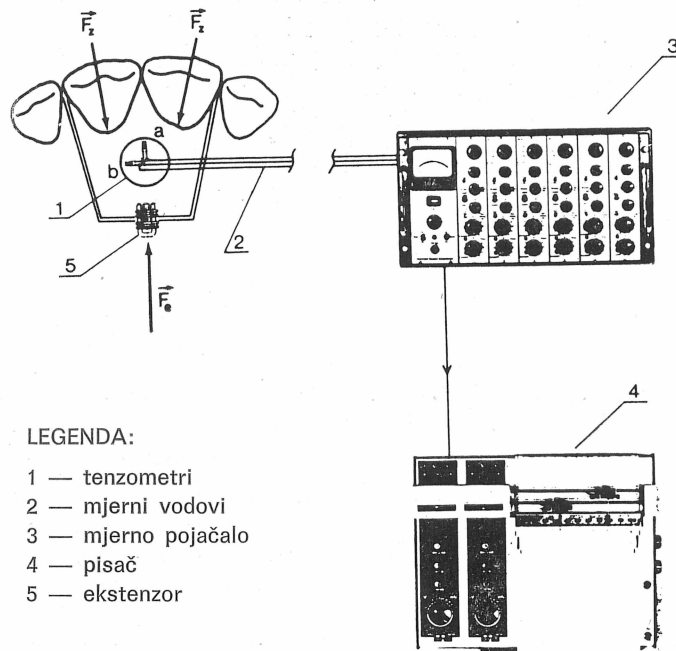
Slika 1. Mjerna epruveta s tenzometrima

Tenzometri su aplicirani na epruvetu (slika 1) i mjernim vodovima spojeni s mjernim pojačalom i pisačem. Korišteni su tenzometri LY 3/120 HBM, a mjerne pojačalo KWS/6T-5 i pisač Goertz-Servogor 2. Navedeni instrumenti korišteni su i u svim provedenim eksperimentima.

Temperatura kompenzacija mjernog sistema je provedena u konfiguraciji polumosta, tako što je kompenzacioni tenzometar naljepljen na pločicu od akrilata, koja se nalazila u istim temperaturnim uvjetima kao i mjerna epruveta a nije bila izložena nikakvom opterećenju.

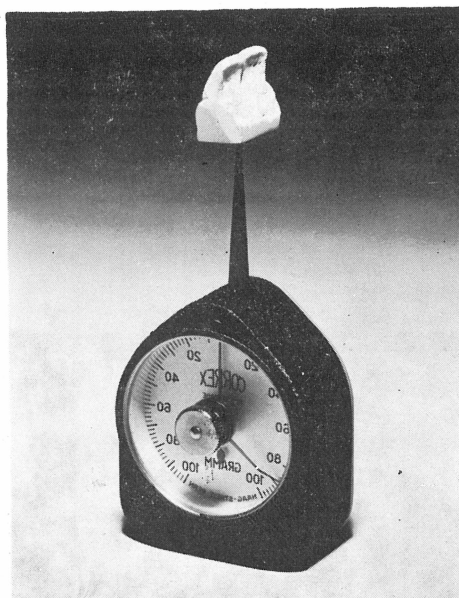
Na temelju saznanja iz prvog dijela istraživanja konstruirani su mjerni senzori.

Kod prvog tipa senzora tenzometri su uliveni direktno u akrilat kao što je prikazano na slici 2 i spojeni mjernim vodovima s pojačalom koje je povezano s pisačem. Uljevanjem tenzometara postiže se isti efekt kao i ljepljenjem jer se tenzometri deformiraju zajedno s konstrukcijom u koju su ugrađeni. Primjenjeno je nekoliko tipova tenzometara, a mjerjenje je vršeno u konfiguraciji polumosta.



Slika 2. Mjerni senzor s ulivenim tenzometrima

Baždarenje senzora ugrađenog u nekoliko modifikacija aktivnih ploča izvedeno je apliciranjem poznatih sila dinamometrom. Da bi rubni uvjeti na mjestu kontakta bili potpuno ispunjeni, na mjeru polugu dinamometra su učvršćeni incizivi od sadre s modela ispitanika (slika 3). Prilikom baždarenja i probnih mjerena uočeni su nedostaci mjernog sistema, koji su onemogućili primjenu takvog senzora u aktivnoj ploči s ekstenzorom za protruziju gornjih centralnih inciziva (T-ploča). Naime, zbog položaja tenzometara, koji su postavljeni u smjeru djelovanja sile, dolazilo je do



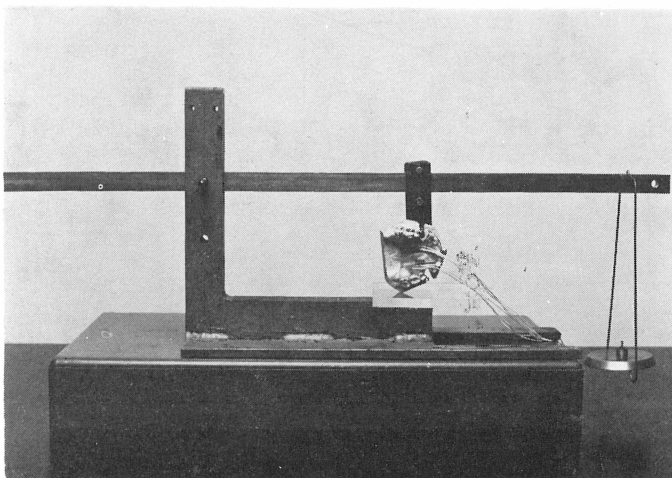
Slika 3. Dinamometar za baždarenje mjernog

gubitka stabilnosti tenzometara, što se održavalo na stabilnost mjernog sistema. Zbog konfiguracije T-ploče koja ovisi o anatomskoj konfiguraciji svoda nepca, dolazi do savijanja ploče nakon aktivacije. Ovo je savijanje skoro neprimjetno, ali njegov utjecaj nije kompenziran tenzometrima postavljenim u smjeru djelovanja sile. Postavljanje više tenzometara u konfiguraciji punog mosta nemoguće je zbog vrlo ograničenog prostora.

Senzori izrađeni na opisanom principu pokazali su se prikladni za korištenje u modifikacijama aktivne ploče s ugrađenim ekstenzorima za transverzalno širenje i s lepezastim ekstenzorima. Oblik naprave s takvim ekstenzorima je prikladan zbog toga što se akrilat nakon aktivacije eksenzora deformira, pa sila proizlazi iz elastičnosti materijala. Tenzometri su uliveni na takva mjesta gdje postoji mogućnost registriranja deformacija izazvanih opterećenjem. Prethodno spomenuto baždarenje također je pokazalo nedostatke jer se sila ne može precizno dozirati dinamometrom, a povećanjem opterećenja se mijenja kut između poluge dinamometra i ortodontske naprave, što mijenja rubne uvjete i onemogućuje kasniju preciznu interpretaciju rezultata prilikom intraoralnih mjerena.

Zbog toga je za daljnja baždarenja korišten okvir prikazan na slici 4, koji se sastoji od postolja u koje je učvršćena metalna poluga pa naprava radi na principu vase. Na oba kraja poluge obješene su zdjelice s utezima, čime je postignuto stanje ravnoteže. Na polovici dužine poluge učvršćen je mehanizam u koji se mogu učvrstiti sadreni zubi izrezani s odljeva

čeljusti na kojem je izrađena ortodontska naprava. Na postolje okvira je fiksiran sadreni odljev s ortodontskom napravom i ugrađenim mjernim senzorom. Opterećenjem poluge može se vrlo precizno dozirati sile, pod gotovo istim uvjetima koji će vladati u usnoj šupljini prilikom mjerjenja.



Slika 4. Okvir za baždarenje sistema

Radi nemogućnosti korištenja opisanog mjernog senzora u raznim mobilnim ortodontskim napravama, konstruirana su dva tipa metalnih senzora s mogućnošću ugradnje i u druge naprave.

Osnovni princip rada ovih senzora bazira se na mjerenu naprezanju u konzoli, na koju se apliciraju tenzometri.

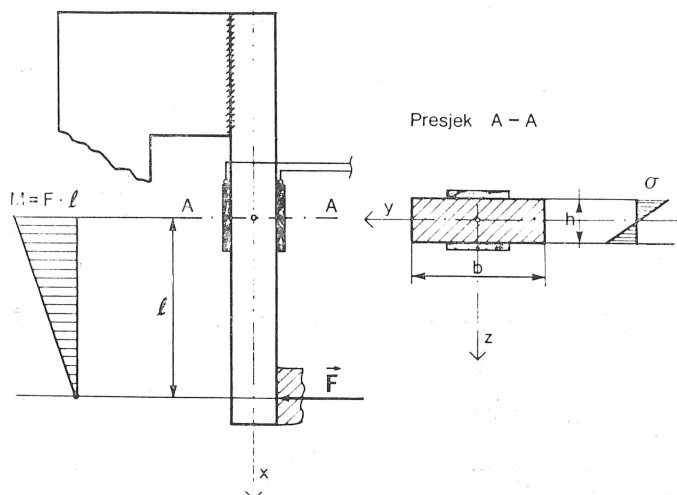
Konzola je opterećena na savijanje, a spajanjem u konfiguraciji polumosta moguće je izmjeriti aplicirane sile s dvostrukom osjetljivošću, pri čemu je provedena i temperaturna kompenzacija.

Zbog izrazitih elastičnih svojstava opružnog čelika od kojeg je izrađena konzola, osigurana je linearnost senzora. Dimenzije konzole i položaj tenzometara prikazani su na slici 5.

Naprezanja u konzoli se mogu izračunati na osnovu izraza

$$\delta = \pm \frac{M}{W} = \frac{F' \cdot t}{b \cdot h^2}$$

6



Slika 5. Konzola s tenzometrima

gdje je

$M$  — moment savijanja

$W$  — moment otpora poprečnog presjeka konzole

$t$ ,  $b$  i  $h$  — dimenzije konzole.

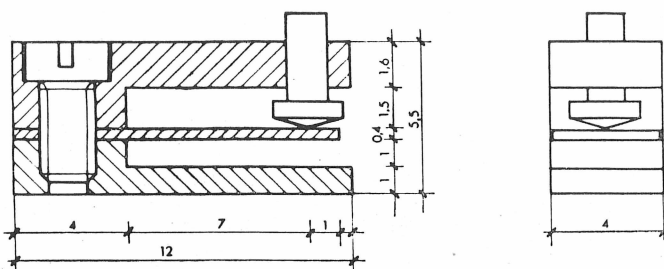
Ova naprezanja su povezana s deformacijama preko Hookeovog zakona te se nakon određenih sredivanja može izvesti veza između aplicirane sile i deformacije konzole, ovisno o dimenzijama konzole i elastičnim svojstvima materijala od kojeg je ona izrađena.

Ta relacija glasi

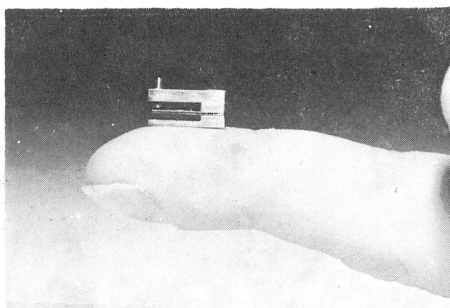
$$F = \frac{b h^2 E}{12 t} \epsilon$$

Analizom izraza vidi se koje sve veličine utječu na osjetljivost mjer ног senzora, pa je izvršen odabir dimenzija i definirana dva tipa mjernih senzora.

Senzor prikidan na slikama 6 i 7 sastoji se od metalnog kućišta, nalik na glazbenu viljušku, izrađenog od nehrđajućeg čelika. Gornji i donji dio senzora su nepomični i međusobno spojeni vijkom, koji omogućuje ras-tavljvanje i ponovno sastavljanje u slučaju potrebe promjene karakteristika senzora. Između ova dva dijela učvršćena je konzola od opružnog čelika, debljine 0,4 mm, koja je procijenjena na osnovu proračuna, baziranog na očekivanim iznosima sila.



Slika 6. Konzolni senzor s klipom



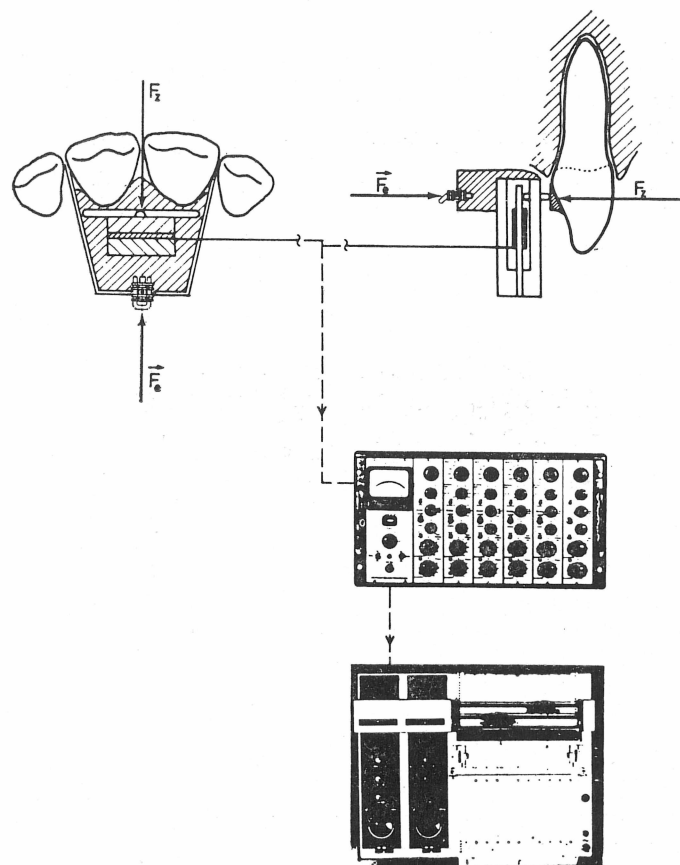
Slika 7. Konzolni senzor s klipom

Kroz otvor na gornjem dijelu kućišta umetnut je klip koji slobodno klizi i prenosi silu na čeličnu konzolu koja se deformira. Na konzolu su s obje strane naljepljeni tenzometri LY 1,5/120 HBM, kojima je prethodno odrezan višak poliamidne podloge da bi im dimenzija bila što manja. Tenzometri su zaljepljeni ljeplilom Z-70 HBM i izolirani lakom M-Coat A Micro Measurements, da bi se isključio utjecaj vlage u usnoj šupljini.

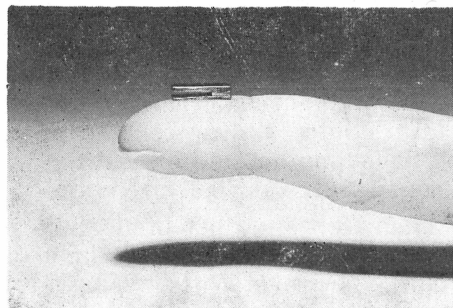
Ovakav je mjerni senzor ugrađivan u akrilat ortodontske naprave tako da klip koji prenosi pritisak na konzolu registrira deformacije tankog sloja akrilata koji se upire u zube. Tako je moguće registrirati čistu силу koja djeluje na jedan Zub ili više njih a da se ne mijenjaju elastična svojstva naprave niti uvjeti kontakta (slika 8).

Mjerni vodovi vode iz usne šupljine do mjernog pojačala i pisača, ali su prethodno uliveni u akrilat što osigurava da ne dode do prekida kontaktata i utjecaja pomicanja ispitanika na iznos mjernog signala.

Mjerni senzor prikazan na slici 9 sastoji se od kućišta koje je izrađeno od nehrđajućeg čelika i istih dimenzija kao i donji dio kućišta prethodno opisanog senzora, osim što nema otvor za vijak. Konzola je također istih dimenzija i debljine ali je nakon ljepljenja tenzometara točkasto varena za kućište.



Slika 8. Ugradnja konzolnog senzora s klipom i princip mjerjenja



Slika 9. Konzolni senzor

Ugradnja mjernog senzora provedena je na sličan način kao i onog prethodnog.

Zbog manjih dimenzija ovaj senzor je bilo moguće ugraditi i kod mlađih ispitanika s manjom čeljusti.

Rezultati baždarenja su za svaku napravu i svaku vrstu senzora obrađeni na računaru programom za linearnu regresiju, pomoću kojeg se kroz mjerne točke provlači pravac koji najbolje zadovoljava sve mjerne vrijednosti.

Ovaj program koristi se u matematičkoj analizi metodom najmanjeg kvadrata za provedbu potrebne aproksimacije. Kao pokazatelj podudarnosti rezultata baždarenja, s dobivenim pravcem je izračunat i koeficijent korelacije koji pokazuje rasipanje rezultata mjerjenja. Relativno visoki iznosi ove veličine pokazuju linearno ponašanje svih senzora u području ispitivanja, što olakšava interpretaciju rezultata intraoralnih mjerena.

## RASPRAVA

U osvrtu na moderna istraživanja u ovoj domeni i njihovom usporedljivom s vlastitim istraživanjima nameće se nekoliko esencijalnih problema.

Niz je istraživanja u kojima se elektrootpornički tenzometri koriste za konstrukciju raznih senzora za mjerjenje žvačne sile (30. — 40.). Sigurno je da su ovakvi senzori vrlo pogodni za tu svrhu ali treba istaknuti da njihova konstrukcija ne predstavlja veliki problem. Naime dijelovi senzora na koje se apliciraju tezometri, uvijek su izvan usne šupljine, pa nema problema ograničenog prostora, utjecaja temperaturnih promjena prilikom disanja, kao ni vrlo nepovoljnog djelovanja vlažnosti, tj. utjecaja slina.

U istraživanjima in vitro u kojima se mjere deformacije zuba (41) i deformacije lubanje prilikom opterećenja (42), također nema tehničkih problema.

Kompliciranija je ugradnja tenzometara i konstrukcija mjerne senzora koji se upotrebljavaju za direktna intraoralna mjerjenja. Najveći problem je vrlo ograničen prostor, osobito ako se sile mjeru na nekoliko lokacija odjednom, posebno u donjoj čeljusti. Situaciju olakšava okolnost što današnja industrija proizvodi tenzometre tako malih dimenzija da njihova veličina ne predstavlja problem kao u istraživanjima šezdesetih godina (41, 43, 44.). Na fotografijama mjerne senzora Goulda i Pictona (43, 44.) može se uočiti da je duljina aktivne rešetke žičanih tenzometara 5—6 mm. Kao usporedbu navodimo da smo u vlastitim istraživanjima koristili tenzometre s duljinom rešetke od 0,6 mm, dakle deset puta kraće.

Rukovanje tako malim tenzimetrima predstavlja novi problem, kao i tehnička izvedba mjerne senzora, koji moraju imati adekvatne dimenzije. Posebno bi se osvrnuli na radove Witta 1966. i 1969., Hildenbrandova 1968., Komposch 1969., Witta i Komposch 1971., te Sandera i Schmutha 1979. (14, 17. — 21.).

Oni koriste vrlo jednostavne konstrukcije mjernih senzora u obliku čelične trake s naljepljenim tenzometrom. Takvi senzori omogućuju višekratnu primjenu i ranije su baždareni pa je registracija sila jednostavna, ali svi autori ističu problem temperaturne kompenzacije jer tenzometre aplikiraju u konfiguraciji četvertmosta. Uz jedan aktivni tenzometar aplikiraju kompenzacioni koji je potpuno neaktivan, a u istim temperaturnim uvjetima. To je relativno teško, ako ne i nemoguće izvesti, jer na mobilnoj ortodontskoj napravi praktički ne postoji mjesto koje nije opterećeno, a tenzometri registriraju i najmanje deformacije.

Taj je problem riješen apliciranjem tenzometara s obje strane opruge, u konfiguraciji polumosta. Takvim se načinom spajanja postižu dva efekta; dobiva se dvostruko veći mjerni signal i time povećava osjetljivost, a budući da su promjene deformacija zbog temperaturnih promjena suprotnog predznaka, temperaturna kompenzacija je potpuna. Iz opsežnih podataka u literaturi o mjerjenjima sila tenzometrima proizlazi da pogodnost ovih uređaja za tu svrhu nije sporna. Nisu međutim pobliže objašnjeni tehnički detalji oko njihove ugradnje.

Zbog toga je, da bi bilo moguće kostruirati mjerne senzore prikladne za intraoralna mjerjenja, trebalo prvo provesti teorijsku analizu djelovanja raznih mobilnih ortodontskih naprava, te niz pokusnih ugradnjih tenzometara i probnih mjerjenja na modelima. Svrha poduzetih istraživanja bila je razrada metodologije koja će omogućiti kasnija rutinska mjerjenja.

## **ZAKLJUČCI**

Rezultati provedenih istraživanja navode na slijedeće zaključke:

- Elektrootpornički tenzometri korišteni u provedenim istraživanjima vrlo su pogodni za mjerjenje sila koje induciraju mobilne ortodontske naprave, pa tako i razne modifikacije aktivne ploče.
- Tenzometre je najbolje koristiti ugrađene u razne mjerne senzore od kojih su najprikladniji oni manjih dimenzija koji ne mijenjaju elastična svojstva niti oblik i veličinu ortodontske naprave.
- Konstrukciju mjernih senzora i njihovu ugradnju u konkretne ortodontske naprave treba provesti tek nakon teorijske analize njihovog djelovanja. Na taj se način neuspjesi mogu izbjegći.

## MEASUREMENT OF ORTHODONTIC APPLIANCE FORCES BY MEANS OF ORIGINALLY CONSTRUCTED SENSORS

### **Summary**

In introductory remarks the most important biomechanical principles, which are relevant for the research, and conditions which must be satisfied presented in intraoral measuring of orthodontic forces were pointed

out. First the aim of the research was defined, and then the investigation of mechanical properties of acrylics as a material for orthodontic appliances were carried out. The type of strain gauges, bonds and measuring system configurations, as well as measuring amplifiers and recording instruments were discussed. Some of measuring sensors, their principles and applicability were discussed. The calibration apparatus was modified for the sensor developed, and the calibration results were analysed by means of statistical methods (linear regression). The behaviour of all used sensors were found to be linear, which enables their application and reduces the measuring results interpretation.

**Key words:** orthodontics forces, strain gauges

### Literatura

- BURSTONE CJ. Application of Bioengineering to Clinical Orthodontics, in Gruber TM, Swain BF eds. Current Orthodontic Concepts and Techniques. Philadelphia: W. B Saunders Comp, 1985.
- CHRISTIANSEN R, BURSTONE CJ. Centers of Rotation Within the Periodontal Space. *Am J Orthod* 1969; 55: 353—67.
- HOUSTON WJB, ISACSON KG. Orthodontic Treatment With Removable Appliances. Bristol: John Wright and Sons Ltd 1977.
- REITAN K. Biomechanical Principles and Avoidance Reactions, in Gruber TM, Swain BF eds. Current Orthodontic Concepts and Techniques. Philadelphia: WB Saunders Comp, 1985.
- REITAN K. Some Factors Determining the Evaluation of Forces in Orthodontics. *Am J Orthod* 1957; 43:32—40.
- REITAN K. Bone Formation and Resorption During Reversed Tooth Movement In: Kraus BS, Riedel RA, Vistas in Orthodontics. Philadelphia: Lee and Febiger, 1962.
- WEINSTEIN S. Minimum Forces in Tooth Movement. *Am J Orthod* 1967; 53:881—91.
- HIXON EH, AASEN TO, ARANGO J, CLARK RA, KLOSTERMAN R, MILLER SS, ODOM WM. On Force and Tooth Movement. *Am J Orthod* 1970; 57: 476—85.
- GRABTER TM. Orthodontics Principles and Practice. Philadelphia: WB Saunders Comp, 1972.
- CHACONAS SJ, CAPUTO AA, HAYASHI RK. Effects of Wire Size, Loop Configuration, and Gabling on Canine-Retraction Springs, *Am J Orthod*, 1974; 65:58—67.
- CAPUTO AA, CHACONAS SJ, HAYASHI RK. Photoelastic Visualisation of Orthodontic Forces During Canine Retraction, *Am J Orthod*, 1974; 65: 250—62.
- NIKOLAI RJ. On Optimum Orthodontics Force Theory as Applied to Canine Retraction, *Am J Orthod*, 1975; 68: 290—301.
- KIYAMA K. Histological Study on minimum Force of Tooth Movement, *J Kyushu Dent Soc*, 1977; 31:1—11.
- SANDER F, SCHMUTH G. Der Einfluss verschiedener Bissperren auf die Muskelaktivität bei Aktivatorträgern, *Fortschr Kieferorthop*, 1979; 40:107—20.
- MACKENNA BR, TÜRKER KS. Jaw Separation and Maximum Incising Force, *J Prosthet Dent*, 1983; 49:726—34.
- SMITH RJ, BURSTONE CJ. Mechanics of Tooth Movement, *Am J Orthod*, 1984; 85:294—302.
- HILDENBRAND M. Die vertikale und seitigale Lageveränderung des Unterkiefers durch den Aktivator und ihre Bedeutung für die Kräfte in dorsaler Richtung, *Inaugural-Dissertation*, Freiburg, 1968.
- KOMPOSCH G. Die vertikale und seitigale Lageveränderung des Unterkiefers durch den Aktivator und ihre Bedeutung für die Kräfte in kranialer

- Richtung, Inaugural-Dissertation, Freiburg, 1969.
19. WITT E. Muskelpyphysiologische Untersuchungen bei der Distalbissbehandlung mit den Aktivator und Bionator Schweiz Mschr Zahnheilk, 1969; 73: 469—76.
  20. WITT E, KOMPOSCH G. Intermaxilläre Kraftwirkung bimaxillärer Geräte, Fortschr Kieferorthop, 1971; 32:345—56.
  21. WITT E. Untersuchung Kieferorthopädischer Kräfte und ihrer Wirkung auf Zahn und Parodontium unter Anwendung elektronischer Messmethoden, Habilitationsschrift, Freiburg, 1966.
  22. BORCHERS L, KOTTMANN S. Spannungsanalyse am Modell eines Dentalimplantats, Messtechnische Briefe, 1983; 19:31—44.
  23. REINHARDT RA, PAO JC, KREJCI RF. Periodontal Ligament Stresses in the Initiation of Occlusal Traumatism, J Periodont Res, 1984; 19:238—49.
  24. REITZ PV, SANDERS JL, CAPUTO AA. A Photoelastic Study of a Split Palatal Major Connector, J Prosthet Dent, 1984; 51:19—29.
  25. ICHIDA E, CAPUTO AA. Stresses Induced by Endodontic Stabilizers, J Prosthet Dent, 1986; 55:168—79.
  26. FIELDS HW, PROFIT WR, CASE JC, VIG KWL. Variables Affecting Measurements of Vertical Occlusal Force, J Dent Res, 1986; 65:135—44.
  27. SCHOPF PM. Zur Dynamik der orofaciellen Muskulatur, Habilitationsschrift, 1970.
  28. GAŽI-ČOKLICA V, LAPTER V. Objektivizacija sile u ortodonciji primjenom mjernih instrumenata, Acta Stom Cro, 1976; 10:165—70.
  29. DALLY JW, RILEY WF. Experimental Stress Analysis, 2ed, Mc Graw Hill, New York, 1978.
  30. LINDERHOLM H, WENNSTRÖM A. Isometric Bite Force and its Reaction to General Force and Body Build, Acta Odont Scand, 1970; 28:679—88.
  31. LINDERHOLM H, LINDQUIST B, RINGQUIST B, RINGQUIST M, WENNSTRÖM A. Isometric Bite Force in Children and its Relation to Body Build and General Muscle force, Acta Odontol Scand, 1971; 29:563—75.
  32. RINGQUIST M. Isometric Bite Force and Its Relation to Dimensions of the Facial Skeleton, Acta Odontol Scand, 1973; 31:35—42.
  33. ATKINSON HF, RALPH WJ. Tooth Loss and Biting Force in Man, J Dent Res, 1973; 52:225—37.
  34. RALPH WJ. The Effects of Dental Treatment on Biting Force, J Prosthet Dent, 1979; 41:143—57.
  35. DECHOW PCP, CARLSON DS. A Method of Bite Force Measurement in Primates, J Biomech, 1983; 16:797—805.
  36. LASSILA V, MC CABE JF. Properties of Interocclusal Registration Materials, J Prosthet Dent, 1985; 53:100—116.
  37. LASSILA V. Comparison of Five Interocclusal Recording Materials, J Prosthet Dent, 1986; 55:215—27.
  38. FLOYSTRAND F. Vestibular and Lingual Muscular Pressure on Complete Maxillary Dentures, Acta Odontol Scand, 1986; 44:71—88.
  39. SPOSETTI VJ, GIBBS CH, ALDERSON TH, JAGGERS JH, RICHMOND MEE, COULON M, NICKERSON DH. Bite Force and Muscle Activity in Overdenture Weares Before and After Attachment Placement, J Prosthetic Dent, 1986; 55: 265—76.
  40. KÖRBER K. Die elastische Deformierung menschlicher Zähne, Dtsch. Zahnärztl Zschr, 1962; 55:691—75.
  41. ENDO B. Distribution of Stress and Strain Produced in the Human Facial Skeleton by the Masticatory force, Zinruigaku Zassi, 1965; 73:9—35.
  42. GOULD MSE, PICTON DCA. A Method of Measuring forces Acting on the Teeth From the Lips, Cheeks and Tongue, Br Dent J. 1962; 112:235—46.
  43. GOULD MSE, PICTON DCA. A Study of Pressure Exerted by the Lips and Cheeks of Subjects With Normal Occlusion, Arch Oral Biol, 1964; 9:469—75.